

Н. И. Иванова, Н. К. Гусарова, Е. А. Никитина,  
С. А. Медведева, М. Л. Альперт, Б. А. Трофимов

### ФОСФОРИЛИРОВАНИЕ ФУРФУРОЛА ВТОРИЧНЫМИ ФОСФИНОКСИДАМИ

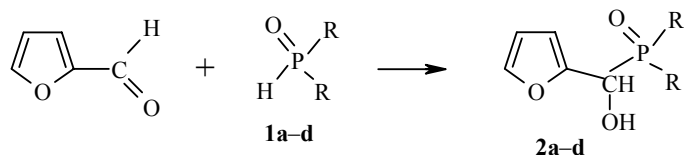
Нуклеофильное присоединение вторичных фосфиноксидов к фурфуролу протекает в мягких условиях и позволяет получать с количественным выходом 2-(диорганилфосфорилгидроксиметил)фураны — полифункциональные строительные блоки для органического синтеза и перспективные амфи菲尔ные лиганды для дизайна металлокомплексных катализаторов.

**Ключевые слова:** диорганилфосфиноксиды, 2-(диорганилфосфорилгидроксиметил)-фураны, фурфурол, фосфорилирование.

Сведения об использовании фурфурола в фосфорорганическом синтезе для формирования связи C–P ограничиваются, по-видимому, его реакцией с фосфином [1, 2], протекающей в присутствии кислот или солей переходных металлов и приводящей к трис(1-гидрокси-1-фурилметил)фосфину — ценному синтону и перспективному лиганду. Фурилфосфины успешно используются для получения металлокомплексных катализаторов многих важных органических реакций [3], поэтому разработка новых удобных подходов к синтезу фосфинов и фосфиноксидов с фурановыми ядрами является актуальной задачей.

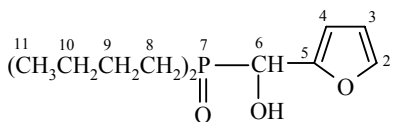
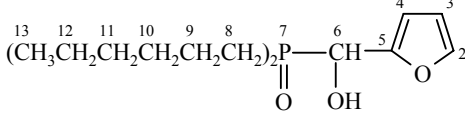
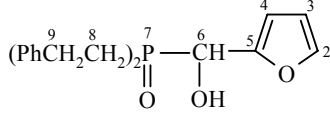
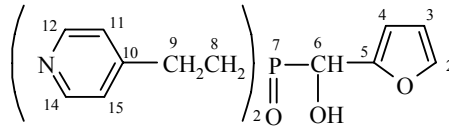
С этой целью в настоящей работе мы впервые изучили реакцию фурфурола с доступными вторичными фосфиноксидами **1**, легко получамыми на основе элементного фосфора [4–6].

Оказалось, что фурфурол реагирует с фосфиноксидами **1a–d** при комнатной температуре или слабом нагревании (50–65 °C) в ТГФ, образуя практически с количественным выходом 2-(диорганилфосфорилгидроксиметил)фураны **2a–d**.



**1, 2 a** R = n-Bu; **b** R = n-C<sub>6</sub>H<sub>13</sub>; **c** R = Ph(CH<sub>2</sub>)<sub>2</sub>; **d** R = 4-Py(CH<sub>2</sub>)<sub>2</sub>

**Спектры ЯМР  $^1\text{H}$ ,  $^{13}\text{C}$  и  $^{31}\text{P}$**

Соединение	Формула	Химические сдвиги ( $\text{CDCl}_3$ ), $\delta$ , м. д. (КCCB, $J$ , Гц)			48.81
		$^1\text{H}$	$^{13}\text{C}$	$^{31}\text{P}$	
<b>2a</b>		0.87 (6H, т, 11-H); 1.32 (4H, м, 10-H); 1.50 (4H, м, 9-H); 1.57–1.88 (4H, м, 8-H); 5.05 (1H, д, $^2J_{\text{PH}} = 7.8$ , 6-H); 6.35 (1H, т, 4-H); 6.42 (1H, т, 3-H); 6.52 (1H, уш. с, 6-OH); 7.37 (1H, с, 2-H)	12.84, 12.89 C <sub>(11)</sub> , 22.53 C <sub>(10)</sub> , 23.65, 23.81 C <sub>(9)</sub> , 23.94 (д, C <sub>(8)</sub> , $^1J_{\text{PC}} = 59.0$ ), 24.14 (д, C <sub>(8)</sub> , $^1J_{\text{PC}} = 61.7$ ), 65.48 (д, C <sub>(6)</sub> , $^1J_{\text{PC}} = 80.1$ ), 107.93 (д, C <sub>(4)</sub> , $^3J_{\text{PC}} = 6.1$ ), 110.01 C <sub>(3)</sub> , 141.62 C <sub>(2)</sub> , 150.69 C <sub>(5)</sub>		
<b>2b</b>		0.86 (6H, т, 13-H); 1.25 (4H, м, 12-H); 1.33 (4H, м, 11-H); 1.56 (4H, м, 8-H); 1.67 (4H, м, 9-H); 1.83 (4H, м, 10-H); 5.06 (1H, д, $^2J_{\text{PH}} = 7.48$ , 6-H); 5.95 (1H, уш. с, 6-OH); 6.35 (1H, т, 4-H); 6.42 (1H, т, 3-H); 7.24 (1H, с, 2-H)	13.98 C <sub>(13)</sub> , 21.22 C <sub>(12)</sub> , 22.42 C <sub>(11)</sub> , 24.66 (д, C <sub>(8)</sub> , $^1J_{\text{PC}} = 62.1$ ), 25.56 (д, C <sub>(8)</sub> , $^1J_{\text{PC}} = 60.8$ ), 30.85 (д, C <sub>(9)</sub> , $^2J_{\text{PC}} = 13.7$ ), 30.88 (д, C <sub>(9)</sub> , $^2J_{\text{PC}} = 13.8$ ), 31.24 (д, C <sub>(10)</sub> , $^3J_{\text{PC}} = 5.1$ ), 66.49 (д, C <sub>(6)</sub> , $^1J_{\text{PC}} = 77.9$ ), 108.68 (д, C <sub>(4)</sub> , $^2J_{\text{PC}} = 5.6$ ), 110.78 C <sub>(3)</sub> , 142.31 C <sub>(2)</sub> , 151.08 C <sub>(5)</sub>	48.92	
<b>2c</b>		2.03 (4H, м, 8-H); 2.90 (4H, м, 9-H); 5.16 (1H, д, $^2J_{\text{PH}} = 8.0$ , 6-H); 6.38 (1H, т, 4-H); 6.48 (1H, т, 3-H); 6.63 (1H, уш. с, 6-OH); 7.23 (10H, м, Ph); 7.40 (1H, с, 2-H)	26.50 (д, C <sub>(8)</sub> , $^1J_{\text{PC}} = 58.7$ ), 27.80 (д, C <sub>(8)</sub> , $^1J_{\text{PC}} = 59.1$ ), 26.96 (д, C <sub>(9)</sub> , $^2J_{\text{PC}} = 3.8$ ), 66.67 (д, C <sub>(6)</sub> , $^1J_{\text{PC}} = 75.4$ ), 108.73 (д, C <sub>(4)</sub> , $^3J_{\text{PC}} = 6.0$ ), 110.60 C <sub>(3)</sub> , 125.95, 126.05 C-p, 127.66 C-o, 128.18, 128.24 C-m, 136.67 C <sub>(2)</sub> , 142.31 (д, C-ipso, $^3J_{\text{PC}} = 2.1$ ), 149.86 C <sub>(5)</sub>	49.84	
<b>2d</b>		2.03 (4H, м, 8-H); 2.86 (4H, м, 9-H); 5.18 (1H, д, $^2J_{\text{PH}} = 8.8$ , 6-H); 6.40 (1H, т, 4-H); 6.47 (1H, т, 3-H); 6.93 (1H, уш. с, 6-OH); 7.11, (4H, д. д, 12-, 14-H); 7.42 (1H, с, 2-H); 8.45 (4H, т, 11-, 15-H)	25.59 (д, C <sub>(8)</sub> , $^1J_{\text{PC}} = 60.8$ ), 26.13 (д, C <sub>(8)</sub> , $^1J_{\text{PC}} = 59.1$ ), 26.29 (д, C <sub>(9)</sub> , $^2J_{\text{PC}} = 4.0$ ), 65.87 (д, C <sub>(6)</sub> , $^1J_{\text{PC}} = 81.0$ ), 108.76 (д, C <sub>(4)</sub> , $^3J_{\text{PC}} = 7.0$ ), 110.69 C <sub>(3)</sub> , 123.06, 123.14 C <sub>(11)</sub> , C <sub>(15)</sub> , 142.53 C <sub>(2)</sub> , 149.05, 149.17 C <sub>(12)</sub> , C <sub>(14)</sub> , 149.75, 149.89 C <sub>(10)</sub> , 150.15 C <sub>(5)</sub>	47.58	

Контроль за ходом реакции осуществляли методом ЯМР  $^{31}\text{P}$  по исчезновению сигнала исходных вторичных фосфиноксидов **1a–d** в области 30–32 м. д. и по появлению новых сигналов в области 47–50 м. д., относящихся к третичным фосфиноксидам.

На примере дибутил- и бис(2-фенилэтил)фосфиноксидов **1a,c** показано, что вторичные фосфиноксиды реагируют с фурфуролом уже при 25–26 °C (ТГФ); при этом их конверсия через 24 ч составляет 80–86%. Последующее нагревание (50 °C) реакционных смесей в течение 2–3 ч приводит к количественному превращению фосфиноксидов **1a,c** в соответствующие фосфорилфураны **2a,c**.

Реакцию фурфурола с дигексил- и бис[2-(4-пиридинил)этил]фосфиноксидами **1b,d** проводили при ~50–65 °C; количественная конверсия этих фосфиноксидов в фосфорилфураны **2b,d** наблюдалась через 20–24 ч.

В спектрах ЯМР  $^1\text{H}$  и  $^{13}\text{C}$  соединений **2a–d** наиболее характеристичными являются сигналы группы СН фрагмента ОСНР=О: дублет при 5.05–5.18 м. д. с геминальной КССВ  $^{31}\text{P}$ – $^1\text{H}$ , равной 7.45–8.80 Гц (ЯМР  $^1\text{H}$ ), и дублет в области 65.48–66.67 м. д. ( $^1J_{\text{PC}}$  ~75–81 Гц; ЯМР  $^{13}\text{C}$ ). Анизотропность двух химически эквивалентных заместителей при атоме фосфора в спектрах ЯМР  $^1\text{H}$  и  $^{13}\text{C}$  обусловлена их диастереотопией. Такая же неэквивалентность наблюдалась и в спектрах ЯМР  $^1\text{H}$  и  $^{13}\text{C}$  2-(диорганилфосфорилгидроксиметил)-1-органилимидацов [7].

В ИК спектрах **2a–d** полоса валентных колебаний гидроксильной группы проявляется в области 3118–3146  $\text{cm}^{-1}$ , что обусловлено, по-видимому, наличием ВМВС с участием фосфорильного фрагмента. Подобное смещение полосы валентных колебаний гидроксильной группы в длинноволновую область отмечено также для аналогичных продуктов присоединения вторичных фосфиноксидов к 3-(триалкилсилил)- и 3-(триалкилгермил)-2-пропиналям [8].

Таким образом, реакция фурфурола с вторичными фосфиноксидами является удобным и эффективным методом синтеза новых полифункциональных 2-(диорганилфосфорилгидроксиметил)фуранов – высокореакционноспособных строительных блоков и перспективных полидентатных липофильных лигандов.

## ЭКСПЕРИМЕНТАЛЬНАЯ ЧАСТЬ

ИК спектры получены на спектрометре Specord IR-75 в микрослое и в таблетках KBr. Спектры ЯМР  $^1\text{H}$ ,  $^{13}\text{C}$  и  $^{31}\text{P}$  записаны на спектрометре Bruker DPX-400 (400, 100 и 161 МГц соответственно) в  $\text{CDCl}_3$ , внутренний стандарт ГМДС, внешний – 85%  $\text{H}_3\text{PO}_4$ .

**Общая методика.** Смесь 11 ммоль фурфурола и 10 ммоль диорганилфосфиноксида в 10 мл ТГФ перемешивают 20–24 ч при 50–55 °C, наблюдая за ходом реакции с помощью спектроскопии ЯМР  $^{31}\text{P}$ . Растворитель удаляют при пониженном давлении, остаток переосаждают из хлороформа пентаном (для соединений **2a,b,d**) или перекристаллизовывают из гексана (соединение **2c**). После упаривания растворителя получают соединения **2a–d**.

**2-(Дибутилфосфорилгидроксиметил)фуран (2a).** вязкая неперегоняющаяся жидкость. Выход 2.5 г (97%). ИК спектр (микрослой),  $\nu$ ,  $\text{cm}^{-1}$ : 1145 (P=O), 3136 уш. с (ОН). Найдено, %: C 60.45; H 8.97; P 11.99.  $\text{C}_{13}\text{H}_{23}\text{O}_3\text{P}$ . Вычислено, %: C 60.22; H 8.91; P 11.90.

**2-(Дигексилфосфорилгидроксиметил)фуран (2b).** вязкая неперегоняющаяся жид-

кость. Выход 3.1 г (97%). ИК спектр (микрослой),  $\nu$ , см<sup>-1</sup>: 1146 (P=O), 3146 уш. с (OH). Найдено, %: C 64.53; H 10.19; P 9.63. C<sub>17</sub>H<sub>31</sub>O<sub>3</sub>P. Вычислено, %: C 64.94; H 9.84; P 9.82.

**2-[Бис(2-фенилэтил)fosфорилгидроксиметил]фуран (2c)**, т. пл. 82–84 °C (из гексана). Выход 3.5 г (98%). ИК спектр (KBr),  $\nu$ , см<sup>-1</sup>: 1144 (P=O), 3123 уш. с (OH). Найдено, %: C 71.17; H 6.54; P 8.74. C<sub>21</sub>H<sub>23</sub>O<sub>3</sub>P. Вычислено, %: C 71.14; H 6.88; P 8.90.

**2-{Бис[2-(4-пиридинил)этил]fosфорилгидроксиметил}фуран (2d)**, вязкая неперегоняющаяся жидкость. Выход 3.4 г (95%). ИК спектр (микрослой),  $\nu$ , см<sup>-1</sup>: 1156 (P=O), 3118 уш. с (OH). Найдено, %: C 63.97; H 5.89; N 7.72; P 8.43. C<sub>19</sub>H<sub>21</sub>N<sub>2</sub>O<sub>3</sub>P. Вычислено, %: C 64.04; H 5.94; N 7.86; P 8.69.

Спектры ЯМР <sup>1</sup>H, <sup>13</sup>C и <sup>31</sup>P для соединений **2a–d** приведены в таблице.

## СПИСОК ЛИТЕРАТУРЫ

1. M. Reuter, L. Orthner, Пат. ФРГ 1075610; *РЖХим.*, **21**, Л83 (1961).
2. Б. А. Трофимов, Н. К. Гусарова, С. Н. Арбузова, *Успехи химии*, **68**, 240 (1999).
3. N. G. Andersen, B. A. Keay, *Chem. Rev.*, **101**, 997 (2001).
4. Б. А. Trofimov, N. K. Gusaeva, L. Brandsma, *Main Group Chem. News*, **4**, 18 (1996).
5. Н. К. Гусарова, С. Ф. Малышева, С. Н. Арбузова, Б. А. Трофимов, *Изв. АН, Сер. хим.*, 1695 (1998).
6. Н. К. Гусарова, Л. Брандсма, С. Н. Арбузова, С. Ф. Малышева, Б. А. Трофимов, *ЖОрХ*, **32**, 269 (1996).
7. Н. К. Гусарова, С. Н. Арбузова, А. М. Реутская, Н. И. Иванова, Л. В. Байкалова, Л. М. Синеговская, Н. Н. Чипанина, А. В. Афонин, И. А. Зырянова, *ХГС*, **72** (2002).
8. N. K. Gusaeva, A. M. Reutskaya, N. I. Ivanova, A. S. Medvedeva, M. M. Demina, P. S. Novopashin, A. V. Afonin, A. I. Albanov, B. A. Trofimov, *J. Organomet. Chem.*, **659**, 172 (2002).

Иркутский институт химии  
им. А. Е. Фаворского СО РАН,  
Иркутск 664033  
e-mail: n\_iva@irioch.irk.ru

Поступило в редакцию 06.11.2002